

اولویت‌بندی زیرحوضه‌های آبخیز بهشت‌آباد از نظر پتانسیل سیل‌خیزی

بهرام بدری - کارشناس ارشد آبخیزداری دانشگاه شهرکرد

رفعت زارع بیدکی * - استادیار دانشکده منابع طبیعی و علوم زمین دانشگاه شهرکرد

افشین هنریخش - دانشیار دانشکده منابع طبیعی و علوم زمین دانشگاه شهرکرد

فاطمه آتشخوار - کارشناس ارشد مرکز تحقیقات منابع آب دانشگاه شهرکرد

پذیرش مقاله: ۱۳۹۴/۰۵/۰۸ تأیید نهایی: ۱۲/۱۰/۱۳۹۴

چکیده

تحقیق حاضر به اولویت‌بندی مکانی سیل‌خیزی زیرحوضه‌های آبخیز بهشت‌آباد با استفاده از نرم‌افزار HEC-HMS پرداخته است. در این تحقیق از روش شماره منحنی برای برآورد تلفات بارش، از روش SCS برای شبیه‌سازی تبدیل بارش-رواناب در سطح زیرحوضه‌ها و از روش ماسکینگام به منظور روندیابی هیدرولوگراف سیل خروجی حوضه استفاده شد. سپس، با روش حذف متواالی، میزان مشارکت زیرحوضه‌ها در دبی اوج خروجی حوضه تعیین شد و اولویت‌بندی زیرحوضه‌ها از نظر دبی اوج سیل و کاهش دبی به ازای واحد سطح صورت گرفت. روندیابی سیل در آبراهه‌ها نشان داد که میزان مشارکت زیرحوضه‌ها در سیل خروجی مناسب با دبی اوج زیرحوضه‌ها نیست. لذا، به منظور حذف اثر مساحت در اولویت‌بندی زیرحوضه‌ها، میزان تأثیر هر واحد سطح زیرحوضه در سیل خروجی نیز محاسبه شد. نتایج اولویت‌بندی از نظر دبی اوج، بر اساس سهم مشارکت هر زیرحوضه در محل خروجی حوضه نشان‌دهنده این است که زیرحوضه‌های درکش و رکش و بهشت‌آباد به ترتیب با ۲/۵ و ۲۹/۱۶ درصد، بیشترین و کمترین سهم را در دبی اوج سیلاب خروجی از حوضه بر عهده داشته است. نتایج اولویت‌بندی براساس کاهش دبی به ازای واحد سطح نشان‌دهنده این است که زیرحوضه بهشت‌آباد با داشتن کمترین مساحت نسبت به بقیه زیرحوضه‌ها بیشترین و زیرحوضه تنگ‌دهنو کمترین تأثیر را داشته است.

کلیدواژه‌ها: استان چهارمحال و بختیاری، حوضه آبخیز بهشت‌آباد، روش SCS شماره منحنی، ماسکینگام، HEC-HMS

مقدمه

سیلاب در زمرة مهم‌ترین بلایای طبیعی است که خسارت‌های فراوانی به مناطق تحت تأثیر خود وارد می‌کند. برای مدیریت سیلاب باید عوامل تولید و ایجاد سیل شناسایی و سپس مناطق دارای پتانسیل بالا در تولید سیل تعیین شود. به‌طور کلی، دو دسته عوامل اقلیمی و حوضه‌ای در ایجاد سیلاب‌ها نقش دارد. منشأ بسیاری از سیلاب‌ها به‌ویژه در مناطق خشک و نیمه‌خشک رگبارهای با شدت زیاد و تداوم نسبتاً کوتاه است. بنابراین، در بررسی رگبارها باید به تداوم، شدت و توزیع زمانی و مکانی آن‌ها در بروز سیل توجه کرد. از مهم‌ترین عوامل حوضه‌ای می‌توان به کاربری اراضی،

وضعیت زمین‌شناسی، نفوذپذیری، پوشش‌گیاهی، مساحت، شب و خصوصیات شبکه زهکشی اشاره کرد. در مدیریت سیل برخی از این عوامل کنترل‌پذیر است که در طرح‌های کنترل سیل بیشتر باید به آن‌ها کرد. این مجموعه عوامل در داخل حوضه و در تبدیل بارش باریده بر سطح حوضه به رواناب نقش دارد. بنابراین، هرگونه راه حل اصولی و چاره‌ساز را باید در حوضه‌های آبخیز جست‌وجو کرد. برای انجام این کار نیاز به شناسایی مناطق سیل‌خیز در داخل حوضه است، زیرا به دلیل وسعت زیاد و گستردگی حوضه‌های آبخیز انجام عملیات اصلاحی در سراسر حوضه امکان‌پذیر نیست. اقدام غلط در مکان نامناسب نیز ممکن است آثار معکوسی به همراه داشته باشد. لذا، باید مناطق دارای پتانسیل بالا در تولید سیل شناسایی شود تا امکان عملیات اجرایی و اصلاحی در سطوح کوچکتر و خطرساز فراهم شود. با توجه به نبود ایستگاه‌های هیدرومتری در تمام زیرحوضه‌ها و کمبودن آمار و اطلاعات ثبت‌شده از سیل در حوضه‌های آبخیز کشور، به‌طور عملی نمی‌توان شدت سیل‌خیزی زیرحوضه‌ها را به تنها‌ی از تجزیه و تحلیل داده‌های موجود استنتاج کرد. در نتیجه، نقش مدل‌های ریاضی هیدرولوژیکی در تعیین سیل‌خیزی حوضه‌ها بسیار مهم است. یکی از این مدل‌ها HEC-HMS است که گروه مهندسی ارتش آمریکا آن را تدوین و ارائه کرده است. کاربرد آن شبیه‌سازی فرایند بارش-رواناب است که با استفاده از نتایج مدل می‌توان اقدام به تعیین مناطق مولد سیل و اولویت‌بندی زیرحوضه‌ها از نظر پتانسیل سیل‌خیزی کرد.

مطالعات در مقیاس‌ها و اقلیم‌های مختلف توانایی این مدل را در شبیه‌سازی هیدرولوگرافی جریان خروجی از حوضه، هم در مقیاس زمانی سالانه و هم به صورت تک‌واقعه‌ای تأیید کرده‌اند. کنبل و همکاران (۲۰۰۵) به منظور تعیین مقیاس محلی برای مدلسازی سیلان، از مدل HEC-HMS استفاده کردند. یوسوپ و همکاران (۲۰۰۷) نیز کارایی مدل HEC-HMS را در مدلسازی هیدرولوگرافی جریان و تعیین ویژگی‌های رواناب مناسب اعلام کردند. آن‌ها در مرحله واسنجی و اعتبارسنجی به ترتیب به ضرایب کارایی 0.81 و 0.82 دست یافتند. چوداری و همکاران (۲۰۱۴) نیز استفاده از مدل HEC-HMS در شبیه‌سازی وقایع بارش-رواناب به منظور برآورد حجم رواناب، دبی حداکثر سیل، و جریان پایه را در حوضه آبخیز بالیجوری نالا هند رضایت‌بخش دانستند. فودی و همکاران (۲۰۰۴) با مطالعاتی که در غرب مصر به منظور شناسایی مناطق حساس به سیلان‌های شدید داشتند، از مدل HEC-HMS استفاده کردند. از تصاویر لندست TM و آزمایش نفوذپذیری برای بدست‌آوردن شماره منحنی منطقه استفاده کردند. این مدل دارای الگوریتم‌های مختلف در برآورد تلفات بارش و روندیابی سیلان است و با توجه به داده‌های ارائه شده به مدل برای هر منطقه امکان واسنجی دارد و مناسب‌ترین روش‌ها برای شبیه‌سازی بارش-رواناب انتخاب شد.

کومار و باتاچاریا (۲۰۱۱) در هند با استفاده از مدل HEC-HMS به مدلسازی بارش-رواناب پرداختند و عنوان کردند راهکار توزیعی مدل HEC-HMS بهتر از مدل متراکر شبیه‌سازی جریان رود عمل می‌کند. هگدوس و همکاران (۲۰۱۳) در مطالعه سیلان‌های سریع، به حساسیت مدل HEC-HMS به رطوبت خاک پرداختند. نتیجه گرفتند که حساسیت‌پذیری قابل توجه مدل HEC-HMS نسبت به عامل رطوبت پیشین خاک در شبیه‌سازی حداکثرهای جریان‌های سیلانی است.

شامحمدی و زمردان (۱۳۹۲) با به کار بردن مدل HEC-HMS از روش شماره منحنی و مدل رطوبت خاک بنت

برای برآورد رواناب رودخانهٔ زرد استفاده کردند و به این نتیجه رسیدند که مدل رطوبت خاک بنت شیوه‌سازی بهتری از آبنمود نسبت به روش شمارهٔ منحنی می‌دهد. رستمی‌زاد و همکاران (۱۳۹۲) نیز به مقایسهٔ نتایج روش‌های مختلف برآورد تلفات بارش در مدل HEC-HMS پرداختند و روش‌های بهینه برای برآورد تلفات بارش در حوضه آبخیز کن را به ترتیب تلفات نمایی، گرین و آمپت، شرایط اولیه و میزان ثابت تلفات، و شمارهٔ منحنی برشمودند. مقیاس مکانی استفاده از این مدل بسیار وسیع است و می‌توان در هر بار اجرای مدل مساحت‌های مختلف از یک زیرحوضه در بالادست تا کل یک حوضه آبخیز را مدل کرد. لذا، با داشتن قابلیت‌های مناسب در تعیین میزان مشارکت هر زیرحوضه یا تعیین پتانسیل سیل‌خیزی مناطق مختلف آبخیز به کار می‌رود.

تفیان و فرازجو (۱۳۸۶) مشارکت زیرحوضه‌ها در سیل‌خیزی حوضه سد گلستان را با استفاده از روش واکنش سیل واحد در محیط مدل HEC-HMS بررسی کردند و دریافتند که شدت سیل‌خیزی زیرحوضه‌ها تنها تحت تأثیر یک عامل نیست و اثر ترکیبی پارامترها، بهویژه سهم بارش هر زیرحوضه، زمان تمرکز و زمان انتقال موج سیل از بازه روندیابی دارای نقش مؤثرتری است.

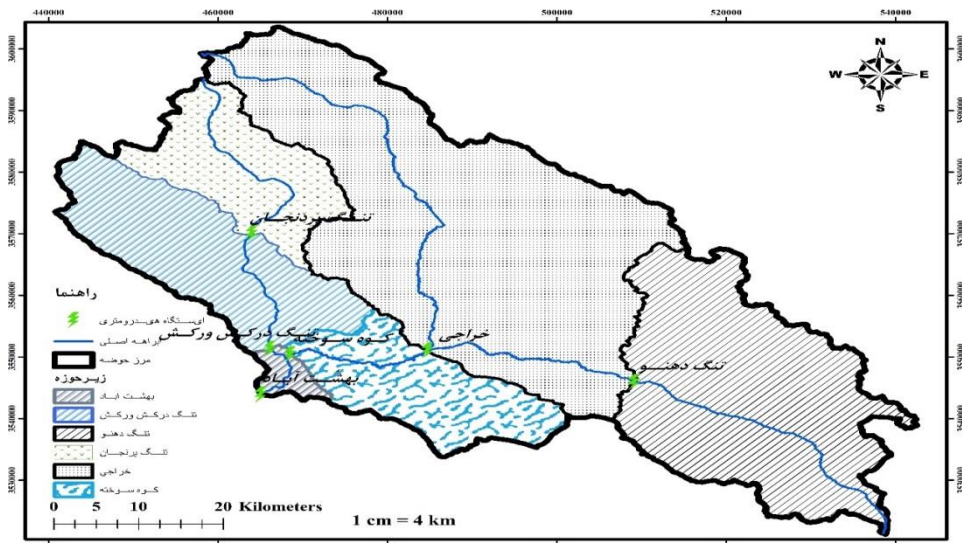
سلیمانی و همکاران (۱۳۸۷) در حوضه آبخیز معرف کسیلیان، زهتابیان و همکاران (۲۰۱۰) در زیرحوضه‌های آبخیز مارمه، و بهرامی و همکاران (۱۳۹۰) در حوضه سد بوستان، با استفاده از مدل HEC-HMS و با کاربرد روش تکرار حذف انفرادی زیرحوضه‌ها به این نتیجه رسیدند که میزان مشارکت زیرحوضه‌ها در سیل خروجی مناسب با دبی اوج نیست و لزوماً زیرحوضه‌های دارای دبی بیشتر، بیشترین مشارکت را در سیل خروجی حوضه ندارد. همچنین، سهم زیرحوضه‌ها در پتانسیل سیل‌خیزی کل حوضه، تنها تحت تأثیر مساحت آن‌ها نیست و عواملی چون موقعیت مکانی زیرحوضه‌ها و روندیابی سیل در رودخانه اصلی نیز در رژیم سیلابی حوضه تأثیر مهمی دارد.

درخشان (۱۳۸۹) در حوضه آبخیز کسیلیان با استفاده از این مدل به این نتیجه رسید که زیرحوضه‌های با پوشش جنگلی دارای کمترین میزان رواناب و پتانسیل سیل‌خیزی و بیشترین پتانسیل تولید رواناب در زیرحوضه‌هایی است که اراضی وسیع زراعی و گسترش خاک‌های گروه هیدرولوژیکی C (بافت سنگین) و اراضی نفوذناپذیر دارد. نصری و همکاران (۲۰۱۱) در حوضه آبخیز سد شیخ بهای شهرستان کاشان به منظور اولویت‌بندی مناطق مؤثر بر دبی اوج سیلاب از مدل HEC-HMS استفاده کردند. نتایج تحقیق آن‌ها نشان داد مناطق نزدیک نقطهٔ خروجی حوضه، بیشترین نقش را در تولید سیل دارند و باید در اولویت فعالیت‌های آبخیزداری قرار گیرند. کمالی و همکاران (۱۳۹۴) از مدل HEC-HMS برای اولویت‌بندی مناطق مولد سیل در حوضه آبخیز باراجین شهر قزوین استفاده کردند و نشان دادند که نوع کاربری اراضی، نوع واحدهای هیدرولوژیکی خاک و بالابودن میانگین وزنی CN حاکی از خطر بالای تولید سیل در حوضه است. همچنین، بیان کردند زیرحوضه‌های شیبدارتر در این منطقه با داشتن کاربری اراضی نامناسب اولویت اول را کنترل سیل دارند. رفیعی و همکاران (۱۳۹۴) نیز در حوضه آبخیز بالادست سد کرج با تکرار حذف انفرادی زیرحوضه‌ها به تعیین میزان مشارکت آن‌ها در سیل خروجی این حوضه پرداختند و به این نتیجه رسیدند که زیرحوضه تکیه سه‌سالار بیشترین و زیرحوضه ولایتود کمترین سهم را در پتانسیل سیل‌خیزی دارد. هدف از تحقیق حاضر تعیین سهم مشارکت هر کدام از زیرحوضه‌های آبخیز بهشت‌آباد در دبی سیلاب خروجی به منظور اولویت‌بندی آن‌ها در اقدام‌های پیشگیری و تخفیف آثار سیلاب است.

مواد و روش‌ها

منطقه مورد مطالعه

حوضه مورد مطالعه حوضه آبخیز بهشت‌آباد با مساحت ۳۸۶۶ کیلومترمربع در استان چهارمحال و بختیاری واقع شده است. این حوضه آبخیز بین عرض‌های جغرافیایی شمالی ۳۱ درجه و ۲۸ دقیقه و ۳۲ درجه و ۵۶ دقیقه و طول‌های جغرافیایی شرقی ۵۰ درجه و ۳۶ دقیقه و ۵۱ درجه و ۴۵ دقیقه قراردارد. محیط آن ۳۸۹/۶۱ کیلومتر و ارتفاع متوسط آن ۲۳۱۷/۲۸ متر است. حوضه مورد مطالعه براساس توپوگرافی و شبکه آبراهه‌ها به شش زیرحوضه تقسیم می‌شود (شکل ۱). خصوصیات فیزیوگرافیکی حوضه بهشت‌آباد و زیرحوضه‌های آن در جدول ۱ آمده است.



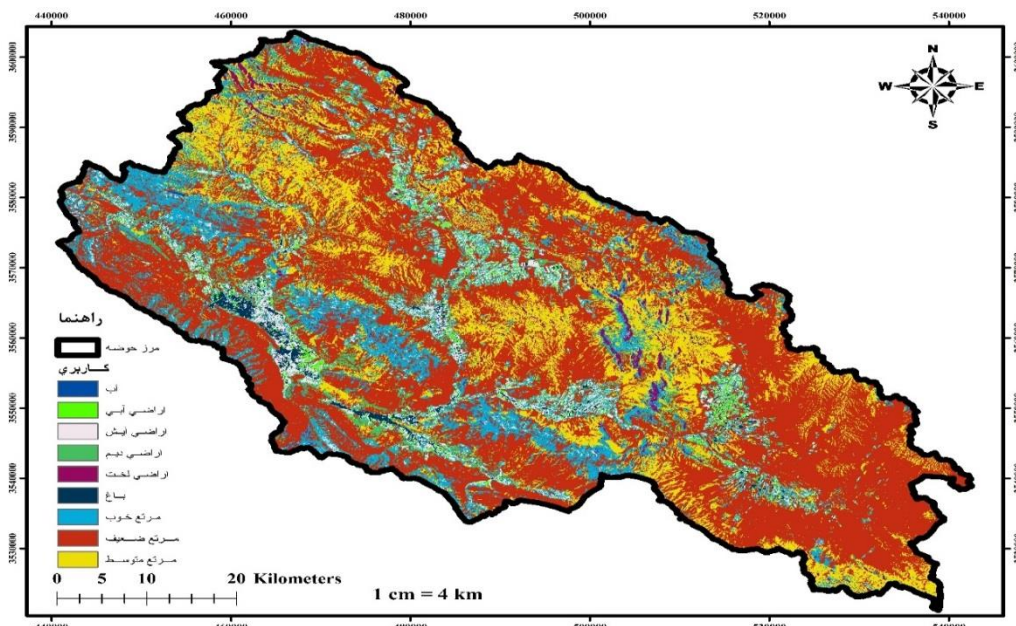
شکل ۱. موقعیت ایستگاه‌های هیدرومتری حوضه بهشت‌آباد

جدول ۱. برخی خصوصیات فیزیوگرافی حوضه آبخیز بهشت‌آباد و زیرحوضه‌های مربوط

نام حوضه	مساحت (Km ²)	محیط (Km)	طول آبراهه (Km)	شیب متوسط (%)	ارتفاع متوسط (M)
بهشت‌آباد	۴۴	۳۵	۱۲/۱۵۱	۲۳/۱۶	۲۳۸۰/۱۵
تنگ پردنجان	۳۷۱	۱۱۵	۳۵/۴۲۷	۱/۹۵	۲۳۹۰/۳۸
درکش ورکش	۵۲۹	۱۲۸	۲۱/۸۷۷	۷/۳۴	۲۴۰۶/۹۸
کوه سوخته	۳۶۴	۱۰۲	۲۵/۱۳۳	۷/۴۹	۲۲۹۳/۱۹
تنگ دهنو	۹۴۵	۱۹۵	۴۸/۰۳۷	۳/۲۳	۲۳۱۵/۳۱
خراجی	۱۶۱۳	۲۴۳	۸۴/۳۸۸	۳/۲۰	۲۲۷۸/۶۷
کل حوضه	۳۸۶۶	۳۸۹/۶۱۵	۱۲۰/۰۵۶	۳/۱۱	۲۳۱۷/۲۸

تهیه نقشه کاربری اراضی و شماره منحنی حوضه

برای تهیه نقشه کاربری اراضی از تصاویر ماهواره‌ای لندست (ETM+) سال ۲۰۰۹ میلادی استفاده شده است. پس از انجام تصحیحات و تهیه نقشه کاربری اولیه در ۱۷۰ نقطه روی زمین کاربری ثبت شد. سپس با استفاده از این نقاط کنترل نمونه تعلیمی تهیه و نقشه با استفاده از روش طبقه‌بندی نظارت شده و با ترکیب باند NIR تهیه شد. در این روش با ادغام سه باند مادون قرمز نزدیک، قرمز، سیز (ترکیب باندهای ۳، ۲ و ۱ تصاویر ماهواره‌ای لندست) نقشه تهیه می‌شود. نقشه کاربری نهایی با دقت کلی ۹۳/۴۴ درصد و ضریب کاپا ۰/۸۱ تهیه شد (شکل ۲). مساحت انواع کاربری‌ها در حوضه بهشت‌آباد و زیرحوضه‌های آن در جدول ۲ آمده است. بیشترین کاربری موجود در سطح کل حوضه بهشت‌آباد در سال مورد مطالعه مربوط به مرتع ضعیف و کمترین آن مربوط به کاربری اراضی کشاورزی آبی است.



شکل ۲. نقشه کاربری اراضی حوضه بهشت‌آباد سال ۲۰۰۹

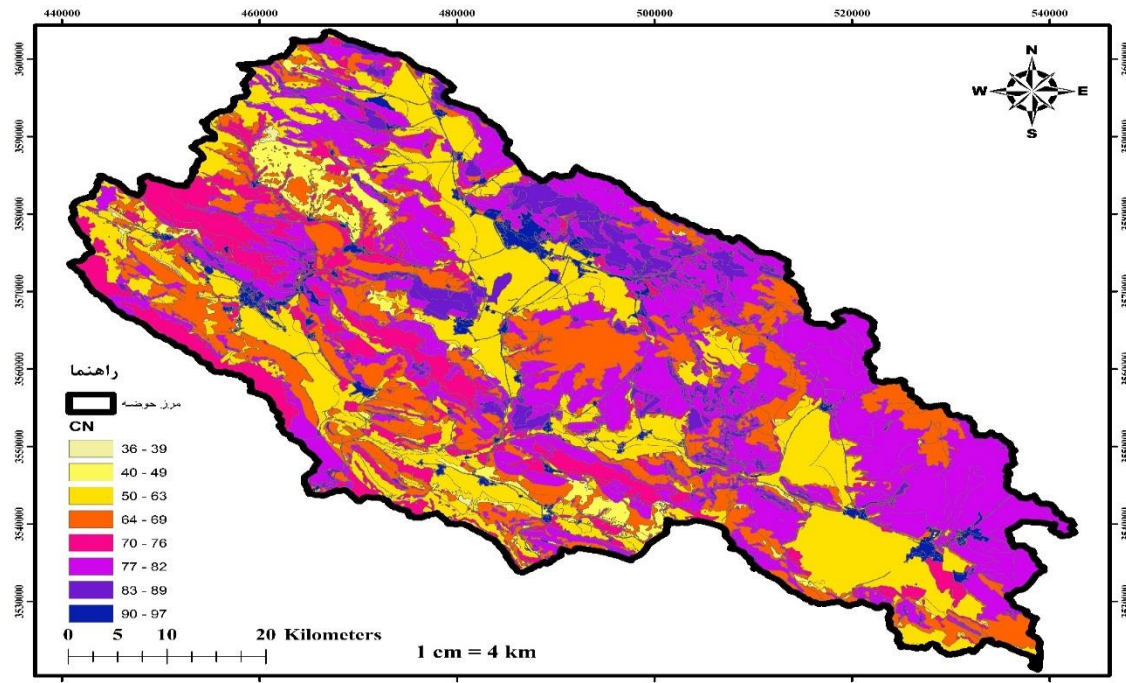
جدول ۲. درصد مساحت انواع کاربری‌ها در حوضه بهشت‌آباد و زیرحوضه‌های آن

حوضه کاربری	کل حوضه	بهشت‌آباد	تنگ پردنجان	درکش ورکش	کوه سوخته	تنگ دهنو	خارجی
اراضی آبی	۰/۷۰	۰/۰۰۴	۰/۱۸	۰/۸	۰/۳۷	۱/۱۰	۰/۶۴
اراضی دیم	۳/۱۸	۱/۴۳	۲/۷	۳/۷۸	۲/۷۳	۲/۴۳	۳/۶۹
مرتع ضعیف	۶۵/۰۳	۹۲/۸۳	۶۴/۲۲	۶۹/۳۲	۷۹/۱۴	۶۲/۶۷	۶۱/۲۵
باغ	۰/۷	۰/۰۱۶	۰/۱۶	۲/۰۱	۰/۸۸	۰/۶۵	۰/۴۱
اراضی آیش	۲/۶۷	۰/۷۶	۱/۱۳	۴/۱۶	۱/۸۱	۲/۱۷	۳/۰۸
مرتع متوسط	۱۴/۷۵	۰/۰۴۵	۱۵/۲۲	۲/۳۲	۲/۲۲	۲/۴۸	۱۷/۴۲
اراضی لخت	۱/۳۲	۰/۲۳	۱/۲۸	۰/۱۳	۰/۰۵۶	۱/۲۸	۲/۱۸
آب	۰/۰۱	۰/۲۱۸	۰/۰۰۵	۰/۰۰۷	۰	۱/۰۱	۰/۰۱
مرتع خوب	۱۰/۱۶	۴/۶۷	۵/۵۷	۱۶/۱۸	۱۲/۲۷	۵/۵۷	۹/۴۲
شهری	۱/۴۲	۰	۱/۵۹	۱/۲۴	۰/۴۹	۱/۵۹	۱/۸۴

گروه هیدرولوژیکی خاک در واقع واکنش زمین به بارش و تولید رواناب است. همچنین، نشان دهنده وضعیت بافت و نفوذناپذیری خاک حوضه است. براساس وضعیت بافت و نفوذناپذیری خاک، گروه‌های هیدرولوژیکی خاک‌ها با توجه به تقسیم‌بندی روش SCS شامل چهار گروه A، B، C و D با توانایی تولید رواناب به ترتیب از کم به زیاد است. نقشه گروه هیدرولوژی خاک از تلفیق نقشه‌های توپوگرافی و شبیه و بافت خاک و زمین‌شناسی تهیه می‌شود. به منظور تعیین شماره منحنی مناطق مختلف حوضه، ابتدا با تطبیق نقشه‌های گروه هیدرولوژی خاک و کاربری اراضی، محدوده‌های همگن مشخص شد. سپس، شماره منحنی در هر یک از این واحداً بر اساس جداول سازمان حفاظت خاک آمریکا و با توجه به گروه هیدرولوژی خاک، نوع کاربری اراضی، پوشش گیاهی، اندازه‌گیری‌های حفاظت خاک و وضعیت رطوبت پیشین خاک مشخص شد و شماره منحنی متوسط وزنی حوضه با توجه به مساحت هر کدام از واحداً همگن محاسبه شد (جدول ۳). میانگین وزنی شماره منحنی کل حوضه بهشت‌آباد برابر ۷۲/۶۹ است و زیرحوضه خراجی با داشتن بیشترین درصد از مساحت کل حوضه، بیشترین شماره منحنی است که باعث بالارفتن شماره منحنی کل حوضه شده است.

جدول ۳. مقادیر CN میانگین وزنی کل حوضه بهشت‌آباد و زیرحوضه‌های آن

حوضه	شماره منحنی	بهشت‌آباد	کل حوضه	خراجی	تنگ دهنو	کوه سوخته	درکش ورکش	تنگ پردنجان
۷۲/۶۹	۷۲/۲۴	۷۰/۶۸	۷۱/۷۱	۶۹/۷۳	۷۳/۴۸	۷۳/۷۱		



شکل ۳. نقشه شماره منحنی CN حوضه بهشت‌آباد

داده‌های بارش-رواناب و تعیین توزیع مکانی و زمانی رگبارها

شرایط لازم به منظور ارزیابی روش آن است که نتایج به دست آمده از آن روش با نتایج واقعی اندازه‌گیری شده مقایسه شود. بنابراین، نیاز به سیلاب‌های مشاهداتی و سیلاب‌های ایجادشده با مدل است. اطلاعات سیلاب‌های ثبت شده در ایستگاه‌های هیدرومتری موجود در حوضه بهشت‌آباد و دارای لیمنوگراف از اداره آب منطقه‌ای استان چهارمحال و بختیاری از سال ۱۳۶۹ تا سال ۱۳۹۰ تهیه و آب پایه از سیلاب‌های مشاهداتی به روش خط مستقیم کسر شد. به منظور تعیین بارش مولد سیل در تاریخ هر رویداد مقدار بارندگی روزانه ثبت شده در ایستگاه‌های باران‌سنجی منطقه استخراج شد و مقدار بارش هر زیروحش با استفاده از روش میانگین وزنی تیسن به دست آمد. به منظور شبیه‌سازی هیدروگرافی سیل به کمک مدل HEC-HMS علاوه بر مقدار بارش به هایتوگراف بارش، نحوه توزیع بارش در مدت زمانی نیاز است که بارندگی اتفاق می‌افتد. با استفاده از الگوهای بارش تعیین شده برای ایستگاه‌های فرودگاه و بروجن و فارسان حداقل بارش ۲۴ ساعته تمامی ایستگاه‌های باران‌سنجی محاسبه شد. سپس، به کمک نرم‌افزار SMADA مقادیر حداقل بارش ۲۴ ساعته با دوره بازگشتهای ۲، ۵، ۱۰، ۲۵، ۵۰، ۱۰۰ و ۲۰۰ سال تعیین شد. در نهایت، رویدادهای سیلاب دارای بارش همزمان در ایستگاه‌های ثبات تعیین شد (جدول ۴).

جدول ۴. مشخصات وقایع بارش-رواناب مشاهده‌ای برای کالیبره کردن و اعتباریابی مدل HEC-HMS

ایستگاه هیدرومتری	تاریخ وقوع سیلاب	شرایط رطوبتی	دبی اوج سیل (مترمکعب بر ثانیه)
خرابی	۲۰۰۷/۸/دسامبر	خشک	۱۲/۲
	۲۰۰۹/۱/مای	خشک	۴
تنگ پردنجان	۲۰۰۹/۱/مای	خشک	۲/۴
	۲۰۱۱/۶/اوریل	خشک	۳/۲
درکش ورکش	۲۰۰۷/۹/دسامبر	خشک	۱۷/۴
	۲۰۰۹/۲۸/ژانویه	خشک	۱۵
کوه سوخته	۲۰۰۹/۱/ژانویه	خشک	۲/۳
	۲۰۰۹/۲۸/فوریه	خشک	۱۰/۷
بهشت‌آباد	۲۰۰۹/۲۸/آوریل	خشک	۶/۷
	۲۰۰۹/۴/نوامبر	خشک	۵/۶
دهنو	۲۰۰۹/۲۵/فوریه	خشک	۰/۳
	۲۰۱۰/۱۹/آوریل	خشک	۳

شبیه‌سازی واکنش هیدرولوژیکی حوضه با مدل HEC-HMS

به منظور شبیه‌سازی هیدرولوژیکی سیالب‌های مشاهده شده، مدل با استفاده از روش شماره منحنی SCS برای رویدادهای بارش-رواناب مشاهده شده اجرا شد؛ گزینه‌ای که هایتوگراف بارش آن‌ها موجود بود. مدل HEC-HMS چندین زیر مدل در اجزای رواناب، جریان سطحی، آب پایه و جریان کانالی دارد. این مدل سه بخش اصلی به نام‌های مدل حوضه، مدل اقلیمی و شاخص‌های کنترلی دارد. همچنین، این مدل قابلیت کالیبره کردن خودکار و بهینه‌سازی پارامترها را نیز دارد. در این تحقیق، روش CN برای شبیه‌سازی تلفات اولیه بارش و نفوذ انتخاب شد. برای تعیین هیدرولوگراف رواناب مستقیم حوضه از روش هیدرولوگراف واحد SCS استفاده شد. روندیابی سیل در شبکه رودخانه‌ها از خروجی هر زیرحوضه تا خروجی کل با استفاده از روش ماسکینگام صورت گرفت.

واسنجی و اعتباریابی HEC-HMS

در این تحقیق، برای واسنجی و اعتباریابی مدل Simple-Split Sample Test HEC-HMS از روش استفاده شده است. در این روش، سیالب‌های مشاهده‌ای به دو گروه تقسیم می‌شود. پارامترهای مدل با یک گروه از داده‌ها و با استفاده از توابع هدف واسنجی می‌شود. سپس، اعتباریابی مدل از طریق اجرای مدل با پارامترهای بهینه‌شده برای گروه دوم داده‌ها انجام می‌شود. در نهایت، هیدرولوگراف مشاهده‌ای و هیدرولوگراف شبیه‌سازی شده با یکدیگر مقایسه می‌شود.

تعیین مناطق مولد سیل و اولویت‌بندی پتانسیل سیل خیزی زیرحوضه‌ها

پس از بهینه‌سازی پارامترها، مدل با استفاده از بارش طراحی ۲۴ ساعته با دوره بازگشت ۵۰ ساله اجرا شد و هیدرولوگراف سیل در محل خروجی هر زیرحوضه به دست آمد. سپس، با استفاده از روش تکرار حذف انفرادی، زیرحوضه‌های آبخیز بهشت‌آباد از نظر سیل خیزی اولویت‌بندی شد. شاخص سیل خیزی مورد استفاده به صورت زیر تعریف شده است.

$$F = \left(\frac{\Delta Q}{Q} \right) \times 100 \quad (1)$$

$$f = \left(\frac{F}{A} \right) \quad (2)$$

که در آن، F سهم مشارکت زیرحوضه در دبی خروجی کل حوضه به درصد، ΔQ مقدار کاهش در دبی خروجی کل حوضه در اثر حذف زیرحوضه مورد نظر بر حسب مترمکعب بر ثانیه، Q دبی خروجی کل حوضه بر حسب مترمکعب بر ثانیه، f سهم مشارکت زیرحوضه در دبی خروجی کل حوضه به ازای واحد سطح و A مساحت زیرحوضه به کیلومترمربع است.

یافته‌های پژوهش

نتایج واسنجی و اعتبارسنجی مدل HEC-HMS

از میان سیلاپ‌های ثبت شده که داده‌های بارش متناظر آن در ایستگاه‌های باران‌سنجی به طور دقیق ثبت شده بود، برای هر زیروحضه دو سیل به منظور واسنجی مدل و یک سیل برای اعتبارسنجی مدل استفاده شد. مقادیر اولیه ضریب تلفات برای وقایع مورد بررسی $25/0$ در نظر گرفته شد. سپس، سایر پارامترها از جمله زمان تأخیر و شماره منحنی که از پیش تعیین شده بود به مدل وارد شد. به منظور بازسازی سیلاپ متناظر با بارش وارد شده از روش ماسکینگام استفاده شد و به منظور واسنجی ضریب رواناب برای مدل تعریف شد تا دبی پیک سیلاپ مشاهده‌ای و شبیه‌سازی شده را بر هم منطبق کند. بنابراین، مدل با روش سعی و خطا ضریب رواناب را تا جایی تغییر می‌دهد که دبی پیک دو سیلاپ بر هم منطبق شود. داده‌های واردشده به مدل به منظور کالیبره کردن ضریب رواناب برای زیروحضه‌های مورد نظر در جدول ۵ آمده است.

جدول ۵. داده‌های ورودی به مدل به منظور کالیبره کردن مدل

نام حوضه	مساحت (کیلومتر مربع)	شماره منحنی	تلفات اولیه به میلی‌متر	زمان تأخیر به ساعت	پارامترهای وردی به مدل
خارجی	۱۶۱۳	۷۳/۷۱	۱۸/۱۱	۵/۷۲	
تنگ پردنجان	۳۷۱	۷۰/۶۴	۲۱/۱۱	۲/۴۴	
درکش ورکش	۵۲۹	۷۱/۷۱	۲۰/۰۳	۲/۲۵	
کوه سوخته	۳۶۴	۶۹/۷۳	۲۲/۰۵	۲/۲۲	
بهشت‌آباد	۴۴	۷۲/۲۴	۱۹/۵۱	۰/۹۹	
دهنو	۹۴۵	۷۳/۴۸	۱۸/۳۳	۳/۱۵	

به منظور اجرای عملیات اعتبارسنجی، با استفاده از پارامتر ضریب تلفات بهینه‌شده در مرحله واسنجی و واردکردن سایر پارامترهای لازم، مدل برای واقعه‌ای که هیدروگراف سیل آن در محل ایستگاه هر زیروحضه موجود است، اعتبارسنجی شد. نتایج اعتبارسنجی نشان داد که اختلاف مقدار دبی اوج مشاهده‌ای نسبت به مقدار شبیه‌سازی شده در زیروحضه‌های تنگ پردنجان و درکش ورکش به ترتیب $76/0$ و $99/0$ درصد و برای بقیه زیروحضه‌ها اختلافی مشاهده نشده است. کنبل و همکاران (۲۰۰۵)، یوسوب و همکاران (۲۰۰۷)، و چوداری و همکاران (۲۰۱۴) نیز کارایی این مدل را در شبیه‌سازی بارش-رواناب تأیید کردند.

نتایج مربوط به اولویت‌بندی مناطق سیل‌خیز

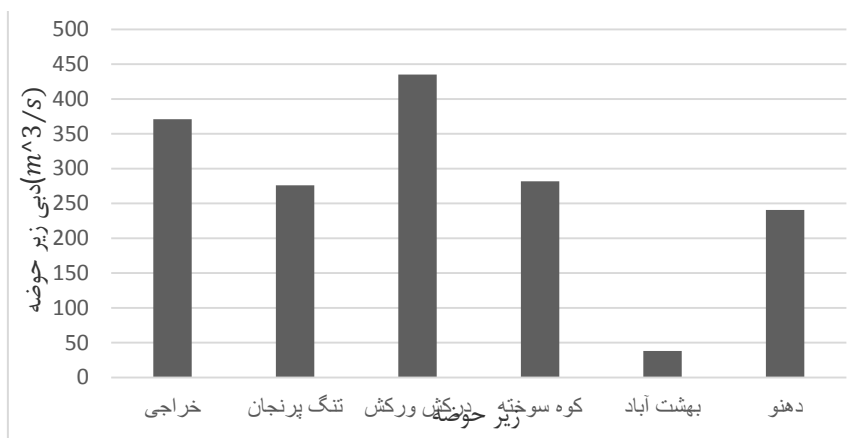
در بین زیروحضه‌های آبخیز بهشت‌آباد، زیروحضه خارجی بیشترین مساحت و زیروحضه بهشت‌آباد انتهایی کمترین مساحت را دارد. با فرض همگن‌بودن توزیع بارش بر سطح حوضه، داشتن بیشترین نسبت دبی خروجی به دبی کل حوضه

برای خراجی و کمترین آن برای بهشت‌آباد انتهاست، چرا که داشتن کمترین مقدار سطح با دریافت کمترین مقدار بارش برابر است. درکش‌ورکش با داشتن مقدار مساحتی که در رتبه سوم قرار می‌گیرد، در برخی دوره بازگشتها بیشترین سهم دبی خروجی را به خود اختصاص می‌دهد. مقدار درجه منحنی این زیرحوضه در مقایسه با دیگر زیرحوضه‌ها تبدیل سهم بیشتری از بارش به رواناب در این زیرحوضه را تأیید می‌کند. نتایج به دست آمده با نتایج تحقیقات کومار و باتاچاربا (۲۰۱۱) و هگدوس و همکاران (۲۰۱۳) مشابه است. از مقایسه نسبت مساحت و دبی زیرحوضه‌ها (جدول ۶) می‌توان فهمید که زیرحوضه‌های با بیشترین مساحت الزاماً بیشترین نسبت دبی زیرحوضه به دبی کل را ندارد مانند زیرحوضه‌های خراجی و تنگ‌دهنو که با داشتن رتبه اول و دوم از نظر مساحت در رده‌های دوم و چهارم نسبت دبی زیرحوضه به کل حوضه قرار می‌گیرد. علت این امر در تأثیر عوامل گفته شده در بالا به غیر از مساحت است که ثقیان و فرازجو (۱۳۸۹)، درخشان (۱۳۹۴) و رفیعی و همکاران (۱۳۸۹) نیز به نتیجه مشابهی در مناطق مورد مطالعه خود دست یافته‌اند.

جدول ۶. نسبت دبی زیرحوضه‌های بهشت‌آباد به دبی خروجی کل در دوره بازگشت‌ای مختلف

نسبت دبی زیرحوضه به دبی کل حوضه در دوره بازگشت							زیرحوضه	نسبت مساحت زیرحوضه به مساحت کل حوضه
۱۰۰ سال	۵۰ سال	۲۵ سال	۱۰ سال	۵ سال	۰/۳	۰/۲۹		
۰/۲۲	۰/۲۲	۰/۲۵	۰/۲۵	۰/۳	۰/۴۱	۰/۴۱	خراجی	
۰/۱۷	۰/۱۷	۰/۱۸	۰/۱۸	۰/۱۷	۰/۱۲	۰/۰۹	تنگ پردنجان	
۰/۲۷	۰/۲۶	۰/۲۹	۰/۲۹	۰/۲۹	۰/۲۷	۰/۱۳	درکش‌ورکش	
۰/۱۷	۰/۱۷	۰/۱۹	۰/۱۹	۰/۱۸	۰/۱۵	۰/۰۹	کوه سوتنه	
۰/۰۲	۰/۰۲	۰/۰۲	۰/۰۲	۰/۰۲	۰/۰۲	۰/۰۱	بهشت‌آباد	
۰/۱۳	۰/۱۴	۰/۱۶	۰/۱۶	۰/۱۹	۰/۱۸	۰/۲۴	دهنو	

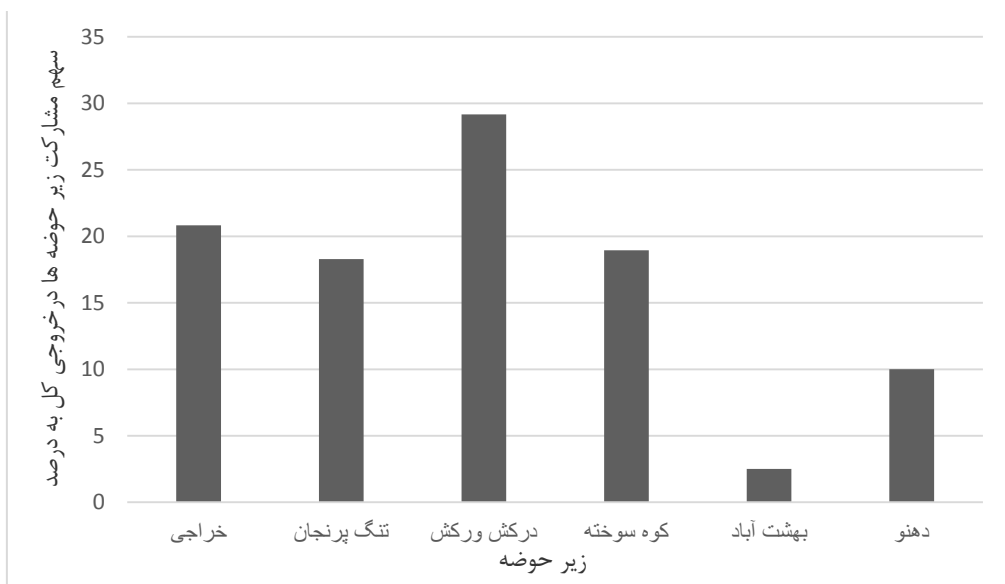
در اولویت‌بندی که تنها بر اساس دبی اوج زیرحوضه، بدون روندیابی هیدروگراف سیل از محل زیرحوضه تا خروجی کل حوضه انجام می‌گیرد میزان مشارکت زیرحوضه‌ها در سیل خروجی کل حوضه آبخیز مشخص نمی‌شود. بنابراین، زیرحوضه‌ای که دبی بیشتری دارد، اولویت اول را به خود اختصاص می‌دهد. بر این اساس نتایج نشان می‌دهد که زیرحوضه درکش‌ورکش بیشترین و زیرحوضه بهشت‌آباد کمترین مقدار دبی اوج را با مقادیر $435/2$ و $38/1$ مترمکعب بر ثانیه داراست. شکل ۴ مقایسه دبی خروجی زیرحوضه‌ها در محل خروجی زیرحوضه به ازای دوره بازگشت ۵۰ ساله را نشان می‌دهد.



شکل ۴. مقایسهٔ دبی خروجی زیروحظه‌هادر محل خروجی زیروحظه به ازای دوره بازگشت ۵۰ ساله

زمانی که میزان تأثیر دبی زیروحضه‌ها پس از روندیابی، در دبی اوج خروجی کل حوضه در نظر گرفته می‌شود، نسبت تأثیر آن‌ها تنها به مساحت و دبی اوج زیروحضه بستگی ندارد، بلکه اثر متقابل عوامل مؤثر مثل موقعیت مکانی زیروحضه‌ها نقش مهمی خواهد داشت. بنابراین، لزوماً زیروحضه‌های دارای مساحت بزرگ‌تر یا دبی بیشتر، در سیل خروجی کل حوضه تأثیر بیشتری ندارد. اولویت‌بندی زیروحضه‌های مختلف از نظر دبی اوج، بر اساس سهم مشارکت هر زیروحضه در محل خروجی ایستگاه بهشت‌آباد بررسی شده است. زیروحضه‌ای اول شناخته می‌شود که با حذف کردنش بیشترین سهم کاهش را در دبی خروجی کل حوضه داشته باشد. نتایج اولویت‌بندی در جدول ۷ آمده است. نتایج نشان‌دهنده این است که زیروحضه‌های درکش ورکش و بهشت‌آباد انتهایی به ترتیب با ۲۹/۱۶ و ۲/۵ درصد بیشترین و کمترین سهم را در دبی اوج سیلان خروجی از حوضه بر عهده داشت. شکل ۵ مقایسهٔ مشارکت زیروحضه‌ها در دبی خروجی کل حوضه را نشان می‌دهد. این امر نشان‌دهنده آثار متقابل روندیابی سیل در رودخانه، موقعیت مکانی و خصوصیات زیروحضه‌ها در تعیین سهم مشارکت در دبی اوج کل حوضه است. زیروحضه درکش ورکش با قرارگرفتن در رده سوم از نظر مساحت بیشترین تأثیر را بر دبی خروجی کل حوضه دارد. این نتایج با نتایج سلیمانی و همکاران (۱۳۸۷)، زهتابیان و همکاران (۱۳۹۰)، بهرامی و همکاران (۱۳۹۰) و کمالی و همکاران (۱۳۹۴) همخوانی دارد.

اولویت‌بندی بر اساس کاهش دبی به ازای واحد سطح نشان‌دهنده این است که عاملی غیر از عامل مساحت از جمله موقعیت مکانی هر زیروحضه نسبت به خروجی حوضه، در پتانسیل تولید سیل زیروحضه‌ها نقش دارد. در مواردی که مساحت زیروحضه‌ها اولویت‌بندی پتانسیل تولید سیل را تحت تأثیر قرارمی‌دهد، این اولویت‌بندی را برای هر واحد سطح زیروحضه می‌توان انجام داد.



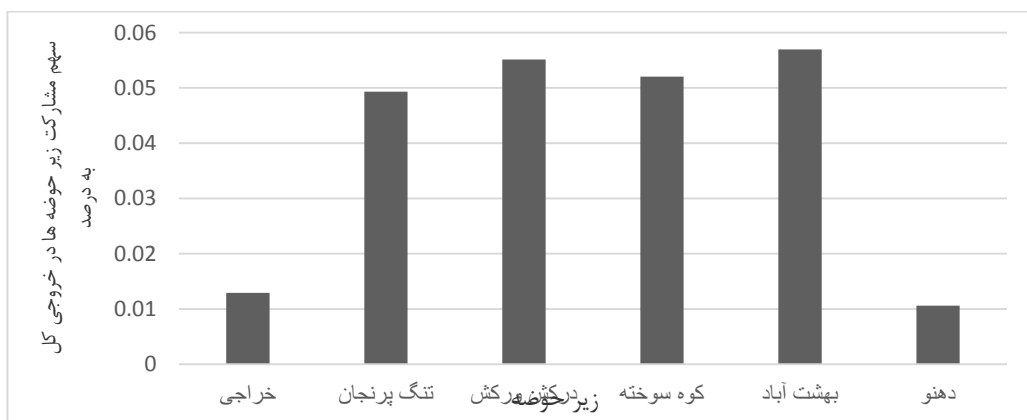
شکل ۵. مقایسه مشارکت زیرحوضه‌هادر دبی خروجی کل حوضه

شاخص تعیین شدت تولید سیل به ازای واحد سطح حوضه، در اولویت‌بندی طراحی عملیات کنترل سیل به ازای هزینه و امکانات موجود از شاخص قبلى کارایی بیشتری دارد. در بخش‌های اجرایی نیز که مسائل اقتصادی طرح‌ها تعیین‌کننده است، میزان کاهش سیل خروجی به ازای واحد سطح زیرحوضه اهمیت بیشتری دارد. از آنجا که تقریباً تمامی روابط و فرمول‌ها مربوط به محاسبات دبی، وابسته به عامل مساحت است، تقریباً این موضوع بدیهی است که زیرحوضه‌های با مساحت زیاد، به دلیل دریافت نزوالت بیشتر نسبت به زیرحوضه‌های کوچک، دبی بیشتری در خروجی‌شان تولید می‌کنند که البته این روند افزایشی تا حدی صحت دارد. شکل ۶ مقایسه مشارکت زیرحوضه‌ها در دبی خروجی کل حوضه به ازای واحد سطح را نشان می‌دهد.

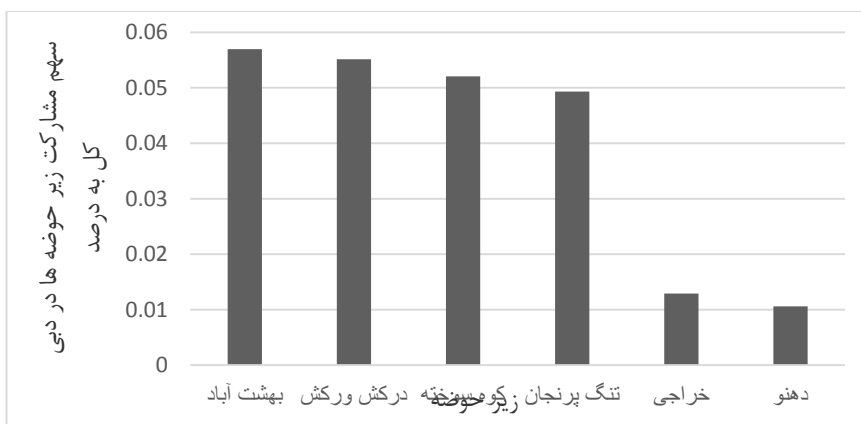
به منظور دستیابی به ویژگی‌های سیلاب بدون تأثیر مساحت هر زیرحوضه اقدام به تعیین میزان سیلاب خروجی از هر زیرحوضه و مشارکت آن در محل خروجی حوضه به ازای واحد سطح شد. در بخش اجرایی کنترل سیلاب نیز میزان کاهش سیل خروجی به ازای واحد سطح زیرحوضه اهمیت بیشتری دارد. نتایج نشان داد که زیرحوضه بهشت‌آباد با داشتن کمترین مساحت نسبت به بقیه زیرحوضه‌ها بیشترین مشارکت و زیرحوضه تنگ دهنو کمترین مشارکت را در سیلاب کل حوضه داشته است. همان‌طور از جدول ۷ و شکل ۷ بر می‌آید، عامل مساحت تأثیری در اولویت‌بندی سیل خیزی در حوضه‌ها ندارد. حوضه خراجی با داشتن بیشترین مساحت در اولویت پنجم سیل خیزی است و تنگ دهنو با قرار گرفتن در اولویت دوم از نظر مساحت، در رده ششم سیل خیزی است. به دلیل مساحت بالادست دبی اوج بالا حساسیت خود را در اولویت‌بندی برای سیل خیزی از دست می‌دهد. نصری و همکاران (۲۰۱۱) نیز نتیجه گرفتند مناطقی که در نزدیکی خروجی حوضه قراردارند بیشترین نقش را در تولید سیل دارند.

جدول ۷. اولویت‌بندی پتانسیل سیل‌خیزی زیرحوضه‌ها

رتبه	نام زیرحوضه	آلویت‌بندی بر اساس مشارکت در دینی خروجی کل	آلویت‌بندی بر اساس مشارکت در دینی خروجی	آلویت‌بندی بر اساس حوضه به ازای واحد سطح	مقدار کاهش در دینی خروجی به زیرحوضه	مقدار کاهش در دینی خروجی	مقدار کاهش در دینی خروجی	مقدار کاهش در دینی خروجی کل	مقدار کاهش در دینی خروجی	دینی خروجی کل	دینی خروجی با حذف زیرحوضه	دینی خروجی	دینی خروجی با حذف زیرحوضه	دینی خروجی	نام
۱	دنه	۰/۰۶	۰/۰۶	۰/۰۶	۰/۰۴۹	۰/۰۲۹	۰/۰۲۹	۰/۰۲۹	۰/۰۲۹	۱۱۷۲	۱۱۷۲	۱۱۷۲	۱۱۷۲	۱۱۷۲	خرابچی
۲	دنه	۰/۰۵۲	۰/۰۵۲	۰/۰۵۲	۰/۰۴۶	۰/۰۲۹	۰/۰۲۹	۰/۰۲۹	۰/۰۲۹	۱۰۴/۹	۱۰۴/۹	۱۰۴/۹	۱۰۴/۹	۱۰۴/۹	تگ پردنجان
۳	دنه	۰/۰۵۶	۰/۰۵۶	۰/۰۵۶	۰/۰۴۹	۰/۰۲۹	۰/۰۲۹	۰/۰۲۹	۰/۰۲۹	۱۰۳/۸	۱۰۳/۸	۱۰۳/۸	۱۰۳/۸	۱۰۳/۸	درکش درکش
۴	دنه	۰/۰۴۹	۰/۰۴۹	۰/۰۴۹	۰/۰۴۹	۰/۰۲۹	۰/۰۲۹	۰/۰۲۹	۰/۰۲۹	۱۰۴/۸	۱۰۴/۸	۱۰۴/۸	۱۰۴/۸	۱۰۴/۸	کوه سوخته
۵	دنه	۰/۰۴۶	۰/۰۴۶	۰/۰۴۶	۰/۰۴۶	۰/۰۲۹	۰/۰۲۹	۰/۰۲۹	۰/۰۲۹	۱۱۹۹/۹	۱۱۹۹/۹	۱۱۹۹/۹	۱۱۹۹/۹	۱۱۹۹/۹	بهشت‌آباد
۶	دنه	۰/۰۵۶	۰/۰۵۶	۰/۰۵۶	۰/۰۵۶	۰/۰۳۱	۰/۰۳۱	۰/۰۳۱	۰/۰۳۱	۱۴۴۴/۳	۱۴۴۴/۳	۱۴۴۴/۳	۱۴۴۴/۳	۱۴۴۴/۳	دنه
۷	دنه	۰/۰۵۶	۰/۰۵۶	۰/۰۵۶	۰/۰۵۶	۰/۰۳۱	۰/۰۳۱	۰/۰۳۱	۰/۰۳۱	۱۳۳۳/۲	۱۳۳۳/۲	۱۳۳۳/۲	۱۳۳۳/۲	۱۳۳۳/۲	دهنو



شکل ۶. مقایسه مشارکت زیرحوضه‌هادر دبی خروجی کل حوضه به ازای واحد سطح



شکل ۷. اولویت‌بندی نهایی زیرحوضه‌ها بر اساس مشارکت در دبی خروجی کل حوضه به ازای واحد سطح

بحث و نتیجه‌گیری

- با توجه به کالیبره کردن مدل، ضریب تلفات اولیه هیدرولوژیکی (I) در رابطه SCS برای زیرحوضه‌های خراجی، نتگ پردنجان، درکش ورکش، کوه سوخته، بهشت‌آباد، و دهنو به ترتیب $0/16$, $0/13$, $0/13$, $0/19$, $0/15$ به دست آمد. کارایی مدل HEC-HMS در حوضه مطالعه با استفاده از کنترل‌های صورت‌گرفته در خصوص دبی اوج، حجم سیلان، زمان رسیدن به دبی اوج و شکل کلی هیدروگراف تأیید شد.

- نتایج اولویت‌بندی براساس دبی اوج زیرحوضه بدون روندیابی هیدروگراف سیل از محل زیرحوضه تا خروجی کل حوضه نشان‌دهنده این است که زیرحوضه درکش ورکش بیشترین و زیرحوضه بهشت‌آباد کمترین مقدار دبی اوج را با مقادیر $435/2$ و $38/1$ مترمکعب بر ثانیه با دوره بازگشت 50 سال دارد.

- نتایج اولویت‌بندی از نظر دبی اوج، بر اساس سهم مشارکت هر زیرحوضه در محل خروجی حوضه نشان‌دهنده این است که زیرحوضه‌های درکش ورکش و بهشت‌آباد به ترتیب با $29/16$ و $2/5$ درصد بیشترین و کمترین سهم را در دبی اوج سیلان خروجی از حوضه بر عهده داشته که نشان‌دهنده تأثیر عواملی همچون مساحت، موقعیت مکانی، و خصوصیات فیزیوگرافی حوضه است.

- نتایج اولویت‌بندی براساس کاهش دبی به ازای واحد سطح نشان‌دهنده این است که زیروحش‌های بهشت‌آباد با داشتن کمترین مساحت نسبت به بقیه زیروحش‌ها بیشترین و زیروحش‌های تنگ دهنده کمترین نقش و مشارکت را داشته است. همچنین، نشان‌دهنده این است که عاملی غیر از عامل مساحت از جمله موقعیت مکانی هر زیروحش، در پتانسیل تولید سیل زیروحش‌ها نقش دارد.

منابع

- بهرامی، س. ع؛ اونق، م؛ فرازجو، ح. (۱۳۹۰). نقش روندیابی رودخانه در شناسایی و اولویت‌بندی واحدهای هیدرولوژیک حوضه سد بوستان از نظر سیل‌خیزی و ارائه راهکارهای مدیریتی، مجله حفاظت منابع آب و خاک، ۱۱(۱)، پاییز: ۱۱-۲۶.
- درخشان، ش. (۱۳۸۹). مطالعه پتانسیل سیل‌خیزی حوضه آبخیز کسیلیان با استفاده از سیستم اطلاعات جغرافیایی، نشریه تحقیقات کاربردی علوم جغرافیایی، جلد ۱۳، ۱۶، بهار: ۵۱-۶۳.
- رستمی‌زاد، ق؛ خلیقی سیکارودی، ش؛ مهدوی، م. (۱۳۹۲). واسنجی روش‌های مختلف برآورد تلفات بارش در مدل HEC-HMS به منظور شبیه‌سازی رواناب سطحی (مطالعه موردی: حوضه آبخیز کن)، نشریه مرتع و آبخیزداری، ۶۴(۳): ۳۵۹-۳۷۲.
- شامحمدی، ش؛ زمردان، م. (۱۳۹۲). مقایسه مدل‌های SCS و SMA-B در برآورد سیلاب حوضه آبخیز رود زرد، نشریه علوم و مهندسی آبخیزداری ایران، ۷(۲۰): ۹-۱۷.
- تفقیان، ب؛ فرازجو، ح. (۱۳۸۶). تعیین مناطق مولد سیل و اولویت‌بندی سیل‌خیزی واحدهای هیدرولوژیکی حوضه سد گلستان. مجله علوم و مهندسی آبخیزداری ایران، ۱: ۱۵۶-۱۶۷.
- سلیمانی، ک؛ بشیر گنبد، م؛ موسوی، س؛ رحیمی، ش. (۱۳۸۷). پتانسیل تولید سیل در حوضه‌های آبخیز با استفاده از مدل HEC_HMS در محیط سامانه اطلاعات جغرافیایی (مطالعه موردی حوضه معرف کسیلیان). فصلنامه پژوهش‌های جغرافیایی طبیعی، ۵۶(۱): ۵۱-۶۰.
- کمالی، م؛ سلیمانی، ک؛ شاهدی، ک؛ نوشهری، ا؛ گمرکچی، ا. (۱۳۹۴). تعیین نقاط سیل‌خیز و اولویت‌بندی زیروحش‌ها در حوضه آبخیز بارجین شهر قزوین با استفاده از تلفیق مدل HEC-HMS و سیستم اطلاعات جغرافیایی، نشریه علوم و مهندسی آبخیزداری ایران، ۹(۲۹): ۲۷-۳۴.
- رفیعی ساردویی، ا؛ خلیقی سیکارودی، ش؛ آذر، ع؛ رستمی خلچ، م. (۱۳۹۴). کاربرد مدل HEC-HMS در اولویت‌بندی پتانسیل سیل‌خیزی حوضه آبخیز بالادست سد کرج، نشریه علوم و مهندسی آبخیزداری، ۲۸(۹): ۵۳-۵۶.
- Bahrami, S.A.; Onagh, M.; Farajzoo, H. (2011). The Role of Flood routing in Determining and Priorizing of Hydrological Units Flooding in Boustan Dam and introduction Management solutions, Water and Soil Resources Conservation Journal, 1(1): 11-26.
- Choudhari, K.; Panigrahi, B.; Paul, J.C. (2014). Simulation of rainfall-runoff process using HEC-HMS model for Balijore Nala watershed, Odisha, India, International Journal of Geomatics and Geosciences, 5(2): 253-266.
- Derakhshan, Sh. (2010). Study of Flood Potential in Kasilian Watershed Using Geographic Information System, Applied Research in Geographic Sciences, 13(16): 51-63.
- Foody, G.M.; Ghoneim, E.N.; Arnell W.N. (2004). Predicting Location Sensitive to Glash Flooding in Arid Environment, Journal of Hydrology, 292:48-58.
- Hegedus, P.; Czigany, S.; Balatonyi, L.; Pirkhoffer, E. (2013). Sensitivity of the HEC-HMS Runoff Model for ear-surface Soil Moisture Contents on the Example of A Rapid-response Catchment in SW Hungary, Riscuri si Catastrofe, XII(12):125-137.
- Kamali, M.; Solaimani, K.; Shahedi, K.; Noshahri, A.; Gomrokchi A. (2015). Determining the Flooding Points and Prioritizing Subcathments of Barajin Cachment of Qazvin Using HEC-HMS and GIS, Iran Watershed

- Management Science and Engineering, 9(29):27-34.
- Knebl, M.R.; Yang, Z.L.; Hutchison, K.; Maidment, D.R. (2005). Regional scale flood modeling using NEXRAD rainfall, GIS, and HEC-HMS/RAS: a case study for the San Antonio River Basin Summer 2002 storm event, Journal of Environmental Management, 75: 325-336.
- Kumar, D.; Bhattacharjya, R.K. (2011). Distributed Rainfall Runoff Modeling, International Journal of Earth Sciences and Engineering, 4(6): 270-275.
- Nasri, M.; Soleimani, F.; Katani, M. (2011). Simulation of the Rainfall-Runoff Process Using of HEC-HMS Hydrological Model (A Case Study of Sheikh Bahaei Dam Basin), World Academy of Science, Engineering and Technology, 54: 548-562.
- Rafiei Sardoii, E.; Khalighi Sigarood, Sh.; Azareh, A.; Rostami Khalaj, M. (2015). Application of HEC-HMS Model for Prioritization of Flooding Potential in Upper Karaj Dam Catchment, Iran watershed Management Science and Engineering, 9(28):53-56.
- Rostamizad, Gh.; Khalighi, Sh.; Mahdavi, M. (2012). Calibrating Different Approaches for Rainfall loss Estimation in HEC-HMS in order to Surface Runoff Simulating (Case Study: Can Watershed), Range and Watershed Management Journal, 66(3): 359-371.
- Saghafian, B.; Farazjoo, H. (2007). Determination Flood Producing Areas and Priorization of Hydrological Units in Golestan Dam Basin, Iranian Watershed Management Science and Engineering Journal, 1: 156-167.
- Shamohamadi, Sh.; Zomorodian, M. (2013). Comparing SCS and SMA-B Models in Flood Estimating in Zard River Basin, Iran Watershed Management Science and Engineering Journal, 7(20): 9-16.
- Soleimani, K.; Gonbad, M.B.; Mousavi, S.R.; Khalighi, Sh. (2008). Flood production Potential in Watersheds using HEC-HMS and Geographical Information Science (Case Study: Kasilian Basin). Natural Geographic Researches, 65: 51-60.
- Yusop, Z.; Chan, C.H.; Katimon, A. (2007). Runoff characteristics and application of HEC-HMS for modeling storm flow hydrograph in an oil palm catchment, Water Science and Technology, 56(8): 41-48.
- Zehtabiyani, Gh.; Ghoddusi, J.; Ahmadi, H.; Khalilizadeh, M.; Moghali, M. (2010). Assessment of the Flood Potential Ranking of Sub-basins and Determination of Flood Source Areas, Journal of Environmental Hydrology, 18(24): 1-9.